

[8] Голубев В.С., Кривенко Ю.Н., Леонов П.Г., Флеров В.Б. // Письма в ЖТФ. 1988. Т. 14. В. 16. С. 1522-1526.

Институт проблем
механики АН СССР,
Москва

Поступило в Редакцию
20 ноября 1988 г.

Письма в ЖТФ, том 15, вып. 5
01; 03

12 марта 1989 г.

СИНЕРГЕТИЧЕСКИЕ ЭФФЕКТЫ ПРИ СТЕКЛОВАНИИ ЖИДКОСТИ

М.И. Марьян, В.В. Химинец

Создание целостной картины перехода в стеклообразное (аморфное) состояние в процессе охлаждения жидкости или под действием облучения сопряжено помимо учета диссипации энергии с рассмотрением нелинейных, синергетических эффектов. В данной работе представлены результаты исследования специфики формирования структуры ближнего, среднего порядков слабо неравновесных (квазикристаллических) и сильно неравновесных (стеклообразных или аморфных) тел в зависимости от изменения внешней среды - скорости охлаждения расплава или интенсивности облучения твердого тела.

В интервале фазового превращения наряду с тепловыми колебаниями атомов существенно влияние на физические свойства и гетерофазных флуктуаций [1], представляющих собой образование микроскопических областей с отличающимся от исходной матрицы характером взаимодействия и топологией связи. Существование гетерофазных флуктуаций подтверждается экспериментальными исследованиями мессбауэровской спектроскопии, ИК-спектров, вязкости твердых тел в интервале плавления и стеклования [2-4]. Устойчивость различных микроскопических состояний, их взаимодействие и вероятность образования определяются изменением внешних условий, описываемых посредством управляющих параметров C_α , к которым относятся скорость охлаждения расплава q , интенсивность внешних полей J . Гамильтониан системы может быть представлен в виде

$$H = \sum_{e, \alpha, f} (T_f(e, C_\alpha) \sigma_f(e) - \mu) + \frac{1}{2} \sum_{e, e', \alpha, f, f'} \Phi_{ff'}(\gamma_{e, e'}, C_\alpha) \sigma_f(e) \sigma_{f'}(e'), \quad (1)$$

где $T_f(e, C_\alpha) = P_e^2 / 2M$ - кинетическая энергия атома e , $\Phi_{ff'}(\gamma_{e, e'}, C_\alpha)$ - потенциальная энергия межатомного взаимодействия, μ - химический потенциал, элементы матрицы $\sigma_f(e)$ характеризуют два набора локально наблюдаемых микроскопических

состояний: $\tilde{\sigma}_f(\ell) = 1$, если атом ℓ находится в локализованном состоянии ($f = 1$), и $\tilde{\sigma}_f(\ell) = 0$, если атом ℓ находится в делокализованном состоянии ($f = 2$). Введем эффективный гамильтониан системы

$$H_0 = \sum_f \left\{ \tilde{\sigma}_f \sum_{\ell, \alpha} (I_f(\ell, C_\alpha) - \mu) + \frac{\tilde{\sigma}_f^2}{2} \sum_{\ell, \ell'} \sum_{\alpha, \beta} \left[\phi(h_{\ell\ell'}, C_\alpha) + \frac{1}{2} u^\alpha(\ell, \ell') \tilde{\phi}_f^{\alpha\beta}(\ell, \ell') \times \right. \right. \quad (2)$$

$$\left. \left. \times u^\beta(\ell, \ell') \right] + (1 - \tilde{\sigma}_f)^2 \sum_{\ell, \ell', \alpha, \beta} \tilde{J}_\beta(\ell, \ell', C_\alpha) v_\beta(\ell) \right\}, \quad v_\beta(\ell) = \sum_m v(\ell/m) \tilde{\sigma}_2(m),$$

модельные параметры которого (вероятность нахождения атомов в делокализованном состоянии $\tilde{\sigma}$ ($\tilde{\sigma} \equiv \tilde{\sigma}_2$), силовые постоянные

$\tilde{\phi}_f^{\alpha\beta}(\ell, \ell', C_\alpha)$ и усредненные среднеквадратичные смещения атомов $u_{\alpha\beta}(\ell, \ell') = \langle u^\alpha(\ell, \ell') u^\beta(\ell, \ell') \rangle$ рассчитываются

исходя из вариационного принципа для свободной энергии $F \leq F_0 + \langle H - H_0 \rangle$, $F_0 = \sum_f F_{0f} - kT \ln \left[\prod_f g_f! / N_f! (g_f - N_f)! \right]$. Здесь введены обозначения: $Y_\ell = R_\ell + u_\ell + v_\ell$, u_ℓ и v_ℓ — динамические и статические смещения атома, $u(\ell, \ell') = u_\ell - u_{\ell'}$ — относительные смещения, $v(\ell/m)$ — статические смещения атома ℓ , когда атом m находится в делокализованном состоянии, g_f — статический вес состояния f . Вариация F по параметрам $\tilde{\sigma}$, $\tilde{\phi}_f^{\alpha\beta}(\ell, \ell', C_\alpha)$ и $u_{\alpha\beta}(\ell, \ell', C_\alpha)$ при фиксированных температуре T и давлении P

$$\delta F = \left[\frac{\partial F}{\partial \tilde{\sigma}} \right]_{y, \phi} \delta \tilde{\sigma} + \left[\frac{\partial F}{\partial u_{\alpha\beta}(\ell, \ell', C_\alpha)} \right]_{\tilde{\sigma}, \phi} \delta u_{\alpha\beta}(\ell, \ell', C_\alpha) + \left[\frac{\partial F}{\partial \tilde{\phi}_f^{\alpha\beta}(\ell, \ell', C_\alpha)} \right]_{\tilde{\sigma}, y} \delta \tilde{\phi}_f^{\alpha\beta}(\ell, \ell', C_\alpha) \quad (3)$$

позволяет определить их температурную зависимость для равновесного ($\delta F = 0$) и неравновесного ($\delta F \neq 0$) переходов.

Разлагая F в ряд по степеням отклонения $\eta = \tilde{\sigma} - \tilde{\sigma}_e$, $\eta_{\alpha\beta} = u_{\alpha\beta}(\ell, \ell') - u_{\alpha\beta}(\ell, \ell')_e$, $\eta_{\tilde{\phi}_f^{\alpha\beta}} = \tilde{\phi}_f^{\alpha\beta}(\ell, \ell') - \tilde{\phi}_f^{\alpha\beta}(\ell, \ell')_e$ системы от состояния равновесия

$$F = F_0 + \frac{1}{2} \sum_{ij} \alpha_{ij}(C_\alpha) \eta_i \eta_j + \frac{c(C_\alpha)}{3} \eta^3 + \frac{\delta(C_\alpha)}{4} \eta^4,$$

где $\alpha_{ij} = (\partial^2 F / \partial \eta_i \partial \eta_j)_e$, $c = (1/2) (\partial^3 F / \partial \eta^3)_e$, $\delta = (1/6) \times (\partial^4 F / \partial \eta^4)_e$, индекс e соответствует равновесному состоянию,

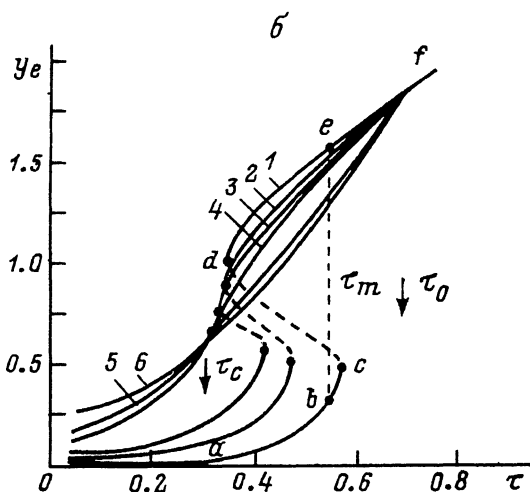
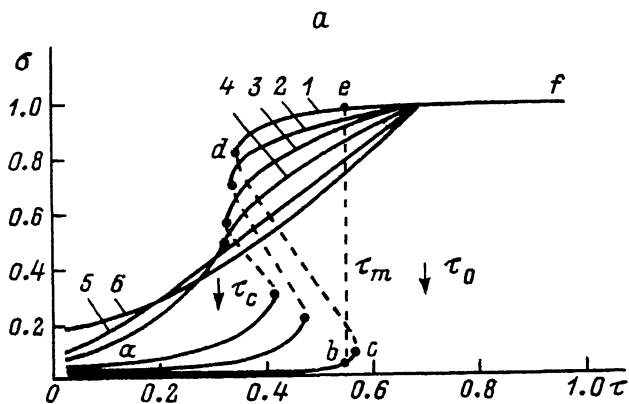
с помощью (2), (3) приходим к следующей замкнутой системе нелинейных уравнений

$$\begin{aligned} & \tilde{T}_2 - \tilde{T}_1 + 2\sigma(\tilde{\Phi}_2 + \tilde{\Phi}_1) - 2\tilde{\Phi}_1 - 4\tilde{J}(1-\sigma)\sigma - 2kT \ln \frac{(q_2/\sigma - 1)}{(q_1/(1-\sigma) - 1)} + \\ & + a_0 \tilde{q} \tau - c\tau^2 - b\tau^3 = 0, \\ & y_{\alpha\beta}(e, e') = \frac{\hbar}{MN} \sum_k \frac{2\sin^2 \frac{k\gamma_{ee'}}{2}}{\omega(k)} \operatorname{cth} \frac{\hbar \omega(k)}{2kT} + a_1 y_{\alpha\beta}, \end{aligned} \quad (4)$$

$$\tilde{\Phi}_f^{\alpha\beta}(e, e') = \langle v_{ee'}^\alpha, v_{ee'}^\beta, \Phi_f(\gamma_{ee'}) \rangle \sigma_f^2 + a_2 \tau \tilde{\Phi}_f^{\alpha\beta}.$$

Здесь $T_f = \sum_e \langle P_f^2(e) / 2M \rangle$, $\tilde{\Phi}_f = (1/2) \sum_{e, e'} \langle \Phi_f(e, e') \rangle$, $\tilde{J} = \langle \sum_{e, e', m} \tilde{J}_\alpha(\gamma_{ee'}) v_\alpha(e/m) \rangle$, $\tilde{q} = (q - q_c) / q_c$, q_c - критическая скорость охлаждения расплава.

Система уравнений (4) решена численно в рамках нулевого приближения теории самосогласованных фононов [5] для парного потенциала вида $\Phi(\gamma) = \Phi_1(\gamma) + \Phi_2(\gamma)$, где короткодействующая часть $\Phi_1(\gamma)$ аппроксимирована потенциалом типа твердых сфер, а дальнедействующая - потенциалом Морзе. Результаты расчета температурной зависимости вероятности образования делокализованных состояний и приведенных среднеквадратичных смещений $y = 36 y_{\alpha\alpha}(0, \tau) / a^2$ ближайших атомов представлены на рисунке ($\tau = kT / V_0$ - приведенная температура, V_0 - энергия диссоциации связи, a - межатомное расстояние). Равновесному переходу из твердого состояния в жидкое соответствует кривая 1 ($q = 0$, $\tilde{q} = -1$): участок ab определяет долю делокализованных состояний в кристалле, ef - долю локализованных состояний в расплаве. При нагревании или охлаждении тела возможно образование метастабильных состояний - перегретого кристалла (участок bc) или переохлажденной жидкости (участок cd). При охлаждении расплава от температуры τ_0 со скоростью охлаждения $q < q_c$ (кривые 2, 3) температура перехода в слабо неравновесное квазикристаллическое состояние понижается. Следует отметить, что доля атомов в делокализованных состояниях и амплитуда колебаний для твердого тела, полученного со скоростями охлаждения $q < q_c$, увеличивается при заданной температуре с ростом q . При критической скорости охлаждения (кривая 4) метастабильные состояния исчезают, а особые точки на температурной зависимости $\sigma(\tau)$, $y(\tau)$ ($\partial\sigma/\partial\tau \rightarrow \infty$, $\partial y/\partial\tau \rightarrow \infty$) вырождаются в одну точку, соответствующую точке перегиба функций. Следовательно, кривая $\sigma(q_c)$, $y(q_c)$ разграничивает область существования равновесной переохлажденной



Температурная зависимость доли σ делокализованных состояний (а) и приведенных среднеквадратичных смещений y атомов (б) при различных скоростях охлаждения расплава. 1 - $\tilde{z} = -1$, 2 - $\tilde{z} = -0.5$, 3 - $\tilde{z} = -0.25$, 4 - $\tilde{z} = 0$, 5 - $\tilde{z} = 1$, 6 - $\tilde{z} = 10$.

жидкости и неравновесного стеклообразного тела. При охлаждении расплава со скоростью $q > q_c$ (кривые 5, 6) перегиб функций $\sigma(\tau)$, $y(\tau)$ отсутствует, реализуется стеклообразное состояние, степень неравновесности которого описывается параметрами $z = \sigma - \sigma_e$, $zy = y - y_e$.

Полученные результаты могут быть применены для объяснения возрастания флуктуаций ближнего порядка (межатомного расстояния

и углов между связями) и температуры стеклования с увеличением скорости охлаждения, характера поведения физических свойств в процессе охлаждения расплавов.

С п и с о к л и т е р а т у р ы

- [1] Шумовский А.С., Юкалов В.И. 2-й Междунар. симп. по избран. пробл. стат. мех. Дубна, 1981, с. 238-260.
- [2] Регель А.Р., Глазов В.М. // ФТП. 1981. Т. 17. № 10, с. 1729-1747.
- [3] Champreney D.C., Sedgwick D.F. // J. Phys. C.: Solid State Phys., 1972. V. 5. N 14. P. 1903-1913.
- [4] Кияченко Ю.Ф., Литвинов Ю.И. // Письма в ЖЭТФ. 1985. Т. 45. № 5. С. 215-217.
- [5] Плакида Н.М. Статистическая физика и квантовая теория поля. М.: Наука, 1973, с. 205-240.

Ужгородский
государственный университет

Поступило в Редакцию
31 декабря 1988 г.

Письма в ЖТФ, том 15, вып. 5

12 марта 1989 г.

05.4; 09

УСИЛЕНИЕ МАГНИТОСТАТИЧЕСКОЙ ВОЛНЫ ПОТОКОМ МАГНИТНЫХ ВИХРЕЙ В СТРУКТУРЕ ФЕРРИТ-СВЕРХПРОВОДНИК

А.Ф. П о п к о в

Хорошо разработаны пассивные устройства на магнитостатических волнах (МСВ) различного функционального назначения [1, 2]. Однако активные устройства на МСВ [3] не получили должного развития в связи с трудностью реализации эффективных условий усиления МСВ при использовании для этих целей дрейфа носителей тока в полупроводниковом слое, покрывающем феррит. В настоящем сообщении обсуждается другая возможность усиления МСВ, связанная с движением магнитного потока, образуемого решеткой вихрей Абрикосова в сверхпроводнике I-го рода, под действием транспортного тока в структуре феррит-сверхпроводник. Эта идея представляет интерес в связи с тем, что открытые недавно высокотемпературные сверхпроводники [4, 5] характеризуются высокой подвижностью вихревой структуры $v/j = \rho_n / B_{c2} = 10^{-7} - 10^{-8} \text{ м}^3/\text{А} \cdot \text{с}$ при 77 К, где v - скорость магнитного вихря, j - плотность тока, ρ_n -